

Datové struktury I

NTIN066

Jirka Fink

<https://ktiml.mff.cuni.cz/~fink/>

Katedra teoretické informatiky a matematické logiky
Matematicko-fyzikální fakulta
Univerzita Karlova v Praze

Zimní semestr 2018/19

Poslední změna 17. října 2018

Licence: Creative Commons BY-NC-SA 4.0

Kontant

E-mail fink@ktiml.mff.cuni.cz

Homepage <https://ktiml.mff.cuni.cz/~fink/>

Konzultace Individuální domluva

Cíle předmětu

- Naučit se navrhovat a analyzovat netriviální datové struktury
- Porozumět jejich chování – jak asymptoticky, tak na reálném počítači
- Zajímá nás nejen chování v nejhorším případě, ale i průměrně/amortizovaně
- Nebudujeme obecnou teorii všech DS ani neprobíráme všechny varianty DS, ale ukazujeme na příkladech různé postupy a principy

- 1 Amortizovaná analýza
- 2 Vyhledávací stromy
- 3 Cache-oblivious algorithms
- 4 Haldy
- 5 Geometrické datové struktury
- 6 Hešování
- 7 Literatura

Podmínky

- Bude zadáno pět domácích úkolů po 110 bodech
- K získání zápočtu je nutné získat alespoň 320 bodů
- Úkol = implementace DS + měření + grafy + zdůvodnění výsledků
- Úkol musí být odevzdán včas a DS musí být funkční
- Důrazně doporučujeme používat C/C++, i když povolujeme i Javu a C#
- Nepoužívejte cizí kód ani knihovny třetích stran
- K implementaci DS nepoužívejte ani standardní knihovny (ani `std::list`, `std::vector`, etc.)
- Úkoly jsou zadávány centrálně, ale opravuje je vyučující, u kterého jste registrováni na SISu
- Při odevzdání v předtermínu můžete navíc získat 10 bodů nebo poslat opravené řešení
- Přesná pravidla a vzorový příklad jsou na webu přednášky

Motivace

- Na cvičeních se především rozebírají domácí úkoly
- Nezbyvá mnoho času na procvičení
- Řada studentů neumí implementovat datové struktury v rozumném čase bez zdlouhavého hledání chyb

Analýza datových struktur (NTIN105)

- Návrh a analýza datových struktur, které zazněly na přednášce, ale na jejich zkoumání není na klasickém cvičení čas
- Vyučující: Martin Mareš
- Rozvrh bude umluvem po emailu (mares+ds@kam.mff.cuni.cz)

Implementace datových struktur (NTIN106)

- Naučit studenty efektivně implementovat datové struktury v rozumném čase bez únavného hledání chyb
- Vyučující: Jirka Fink
- Rozvrh: středa, 17:20, S4

Obsah

- Návrh implementace datových struktur
- Application programming interface
- Unit a integrity testy
- Implementace bez rekurze (a zásobníku)
- Spojový seznam, stromy, ...
- Správa paměti
- Paralelní programování bez zámků
- Implementace nástrojů vyšších programovacích jazyků v C/RAM
- Diskuze různých implementací domácích úkolů, testování a zkušeností
- Zápočet: recenze řešení domácích úkolů ostatních studentů (code review)

- A. Koubková, V. Koubek: Datové struktury I. MATFYZPRESS, Praha 2011.
- T. H. Cormen, C.E. Leiserson, R. L. Rivest, C. Stein: Introduction to Algorithms. MIT Press, 2009
- K. Mehlhorn: Data Structures and Algorithms I: Sorting and Searching. Springer-Verlag, Berlin, 1984
- D. P. Mehta, S. Sahni eds.: Handbook of Data Structures and Applications. Chapman & Hall/CRC, Computer and Information Series, 2005
- E. Demaine: Cache-Oblivious Algorithms and Data Structures. 2002.
- R. Pagh: Cuckoo Hashing for Undergraduates. Lecture note, 2006.
- M. Thorup: High Speed Hashing for Integers and Strings. Lecture notes, 2014.
- M. Thorup: String hashing for linear probing (Sections 5.1-5.4). In Proc. 20th SODA, 655-664, 2009.

- 1 Amortizovaná analýza
 - Inkrementace binárního čítače
 - Dynamické pole

- 2 Vyhledávací stromy

- 3 Cache-oblivious algorithms

- 4 Haldy

- 5 Geometrické datové struktury

- 6 Hešování

- 7 Literatura

Motivace

- Uvažujme datovou strukturu, která zvládá nějakou operaci většinou velmi rychle.
- Ale občas potřebuje reorganizovat svoji vnitřní strukturu, což operaci v těchto výjimečných případech značně zpomaluje.
- Tudíž je časová složitost v nejhorším případě velmi špatná.
- Představme si, že naše datová struktura je použita v nějakém algoritmu, který operaci zavolá mnohokrát.
- V této situaci složitost algoritmu ovlivňuje celkový čas mnoha operací, nikoliv složitost operace v nejhorším případě.
- Cíl: Chceme zjistit “průměrnou” hodnotu časových složitostí posloupnosti operací, případně celkovou složitost posloupnosti operací.

Metody výpočtu amortizované složitosti

- Agregovaná analýza
- Účetní metoda
- Potenciální metoda

- 1 Amortizovaná analýza
 - Inkrementace binárního čítače
 - Dynamické pole
- 2 Vyhledávací stromy
- 3 Cache-oblivious algorithms
- 4 Haldy
- 5 Geometrické datové struktury
- 6 Hešování
- 7 Literatura

Binární čítač

- Máme n -bitový čítač inicializovaný libovolnou hodnotou
- Při operaci INCREMENT se poslední nulový bit změní na 1 a všechny následující jedničkové bity se změní na 0
- Počet změněných bitů v nejhorším případě je n
- Kolik bitů se změní při k operacích INCREMENT?

Agregovaná analýza

- Poslední bit se změní při každé operaci — tedy k -krát
- Předposlední bit se změní při každé druhé operaci — nejvýše $\lceil k/2 \rceil$ -krát
- i -tý bit od konce se změní každých 2^i operací — nejvýše $\lceil k/2^i \rceil$ -krát
- Celkový počet změn bitů je nejvýše
$$\sum_{i=0}^{n-1} \lceil k/2^i \rceil \leq \sum_{i=0}^{n-1} (1 + k/2^i) \leq n + k \sum_{i=0}^{n-1} 1/2^i \leq n + 2k$$
- Časová složitost k operací INCREMENT nad n -bitovým čítačem je $\mathcal{O}(n + k)$
- Jestliže $k = \Omega(n)$, pak amortizovaná složitost na jednu operaci je $\mathcal{O}(1)$

Účetní metoda

- Změna jednoho bitu stojí jeden žeton a na každou operaci dostaneme dva žetony
- Invariant: U každého jedničkového bitu si uschováme jeden žeton
- Při inkrementu máme vynulování jedničkových bitů předplaceno
- Oba žetony poskytnuté k vykonání operace využijeme na jedinou změnu nulového bitu na jedničku a předplacení jeho vynulování
- Na začátku potřebujeme dostat nejvýše n žetonů
- Celkově dostaneme na k operací $n + 2k$ žetonů
- Amortizovaný počet změněných bitů při jedné operaci je $\mathcal{O}(1)$ za předpokladu $k = \Omega(n)$

Potenciální metoda

- Potenciál nulového bitu je 0 a potenciál jedničkového bitu je 1
- Potenciál čítače je součet potenciálů všech bitů ①
- Potenciál po provedení j -té operace označme Φ_j skutečný počet změněných bitů při j -té operaci označme T_j ②
- Chceme spočítat amortizovaný počet změněných bitů, který označíme A
- Pro každou operaci j musí platit $T_j \leq A + (\Phi_{j-1} - \Phi_j)$ pro libovolnou operaci j ③
- Podobně jako v účetní metodě dostáváme $A \geq T_j + (\Phi_j - \Phi_{j-1}) \geq 2$
- Celkový počet změněných bitů při k operacích je

$$\sum_{j=1}^k T_j \leq \sum_{j=1}^k (2 + \Phi_{j-1} - \Phi_j) \leq 2k + \Phi_0 - \Phi_k \leq 2k + n,$$

protože $0 \leq \Phi_j \leq n$ ④

- 1 V tomto triviálním příkladu je potenciál přesně počet žetonů v účetní metodě.
- 2 Φ_0 je potenciál před provedení první operace a Φ_k je potenciál po poslední operaci.
- 3 Toto je zásadní fakt amortizované analýzy. Potenciál je jako banka, do které můžeme uložit peníze (čas), jestliže operace byla levná (rychle provedená). Při drahých (dlouho trvajících) operacích musíme naopak z banky vybrat (snížit potenciál), abychom operaci zaplatili (stihli provést v amortizovaném čase). V amortizované analýze je cílem najít takovou potenciální funkci, že při rychle provedené operaci potenciál dostatečně vzroste a naopak při dlouho trvajících operací potenciál neklesne příliš moc.
- 4 Součtu $\sum_{j=1}^k (\Phi_{j-1} - \Phi_j) = \Phi_0 - \Phi_k$ se říká teleskopická suma a tento nástroj budeme často používat.

Definice

Potenciál Φ je funkce, která každý stav datové struktury ohodnotí nezáporným reálným číslem. Operace nad datovou strukturou má amortizovanou složitost A , jestliže libovolné vykonání operace splňuje

$$T \leq A + (\Phi(S) - \Phi(S')),$$

kde T je skutečný čas nutný k vykonání operace, S je stav před jejím vykonáním a S' je stav po vykonání operace.

Příklad: Inkrementace binárního čítače

- Potenciál Φ je definován jako počet jedničkových bitů v čítači
- Skutečný čas T je počet změněných bitů při jedné operaci INCREMENT
- Amortizovaný čas je 2
- Platí $T \leq A + (\Phi(S) - \Phi(S'))$

- 1 Amortizovaná analýza
 - Inkrementace binárního čítače
 - Dynamické pole
- 2 Vyhledávací stromy
- 3 Cache-oblivious algorithms
- 4 Haldy
- 5 Geometrické datové struktury
- 6 Hešování
- 7 Literatura

Dynamické pole

- Máme pole, do kterého přidáváme i mažeme prvky
- Počet prvků označíme n a velikost pole p
- Jestliže $p = n$ a máme přidat další prvek, tak velikost pole zdvojnásobíme
- Jestliže $p = 4n$ a máme smazat prvek, tak velikost pole zmenšíme na polovinu ①

Intuitivní přístup ②

- Zkopírování celého pole trvá $\mathcal{O}(n)$
- Jestliže po realokaci pole máme n prvků, pak další realokace nastane nejdříve po $n/2$ operacích INSERT nebo DELETE ③
- Amortizovaná složitost je $\mathcal{O}(1)$

Agregovaná analýza: Celkový čas

- Nechť k_i je počet operací mezi $(i - 1)$ a i -tou realokací $\Rightarrow \sum_i k_i = k$
- Při první realokaci se kopíruje nejvýše $n_0 + k_1$ prvků, kde n_0 je počáteční počet
- Při i -té realokaci se kopíruje nejvýše $2k_i$ prvků, kde $i \geq 2$ ④
- Celkový počet zkopírovaných prvků je nejvýše $n_0 + k_1 + \sum_{i \geq 2} 2k_i \leq n_0 + 2k$

- 1 Přesněji: Uvažujeme přidávání a mazání prvků ze zásobníku.
- 2 V analýze počítáme pouze čas na realokaci pole. Všechny ostatní činnost při operacích INSERT i DELETE trvají $\mathcal{O}(1)$ v nejhorším čase. Zajímá nás počet zkopírovaných prvků při realokaci, protože předpokládáme, že kopírování jednoho prvku trvá $\mathcal{O}(1)$.
- 3 Po realokaci a zkopírování je nové pole z poloviny plné. Musíme tedy přidat n prvků nebo smazat $n/2$ prvků, aby došlo k další realokaci.
- 4 Nejhorším případem je posloupnost INSERT, kdy zdvojnásobíme počet prvků, které poté musíme realokovat.

Potenciální metoda

- Uvažujme potenciál

$$\Phi = \begin{cases} 0 & \text{pokud } p = 2n \\ n & \text{pokud } p = n \\ n & \text{pokud } p = 4n \end{cases}$$

a tyto tři body rozšíříme po částech lineární funkcí

- Explicitně

$$\Phi = \begin{cases} 2n - p & \text{pokud } p \leq 2n \\ p/2 - n & \text{pokud } p \geq 2n \end{cases}$$

- Změna potenciálu při jedné operaci bez realokace je $\Phi' - \Phi \leq 2$ ①
- Skutečný počet zkopírovaných prvků T vždy splňuje $T + (\Phi' - \Phi) \leq 2$
- Celkový počet zkopírovaných prvků při k operacích je nejvýše $2k + \Phi_0 - \Phi_k \leq 2k + n_0$
- Celkový čas k operací je $\mathcal{O}(n_0 + k)$
- Amortizovaný čas jedné operace je $\mathcal{O}(1)$

$$\Phi' - \Phi = \begin{cases} 2 & \text{pokud přidáváme a } p \leq 2n \\ -2 & \text{pokud mažeme a } p \leq 2n \\ -1 & \text{pokud přidáváme a } p \geq 2n \\ 1 & \text{pokud mažeme a } p \geq 2n \end{cases}$$

1 Amortizovaná analýza

2 Vyhledávací stromy

- $BB[\alpha]$ -strom
- Splay stromy
- (a,b) -stromy
- Červeno-černý strom

3 Cache-oblivious algorithms

4 Haldy

5 Geometrické datové struktury

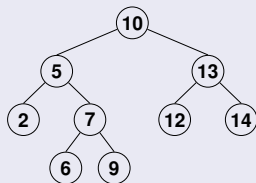
6 Hešování

7 Literatura

Vlastnosti

- Binární strom (každý vrchol obsahuje nejvýše dva syny)
- Klíč v každém vnitřním vrcholu je větší než všechny klíče v levém podstromu a menší než všechny klíče v pravém podstromu
- Prvky mohou být uloženy pouze v listech nebo též ve vnitřních vrcholech (u každého klíče je uložena i hodnota)

Příklad



Složitost

- Paměť: $\mathcal{O}(n)$
- Časová složitost operace Find je lineární ve výšce stromu
- Výška stromu může být až $n - 1$

- 1 Amortizovaná analýza
- 2 Vyhledávací stromy
 - $BB[\alpha]$ -strom
 - Splay stromy
 - (a,b) -stromy
 - Červeno-černý strom
- 3 Cache-oblivious algorithms
- 4 Haldy
- 5 Geometrické datové struktury
- 6 Hešování
- 7 Literatura

Váhově vyvážené stromy: BB[α]-strom

BB[α]-strom (Nievergelt, Reingold [10])

- Binární vyhledávací strom
- Počet vrcholů v podstromu vrcholu u označme s_u ①
- Pro každý vrchol u platí, že podstromy obou synů u musí mít nejvýše αs_u vrcholů ②
- Zřejmě musí platit $\frac{1}{2} < \alpha < 1$ ③

Výška BB[α]-stromu

- Podstromy všech vnuků kořene mají nejvýše $\alpha^2 n$ vrcholů
- Podstromy všech vrcholů v i -té vrstvě mají nejvýše $\alpha^i n$ vrcholů
- $\alpha^i n \geq 1$ jen pro $i \leq \log_{\frac{1}{\alpha}}(n)$
- Výška BB[α]-stromu je $\Theta(\log n)$

Operace BUILD: Vytvoření BB[α]-stromu ze seříděného pole

- Prostřední prvek dáme do kořene
- Rekurzivně vytvoříme oba podstromy
- Časová složitost je $\mathcal{O}(n)$

- 1 Do s_u započítáváme i vrchol u .
- 2 V literatuře můžeme najít různé varianty této podmínky. Podstatné je, aby oba postromy každého vrcholu měli „zhruba“ stejný počet vrcholů.
- 3 Pro $\alpha = \frac{1}{2}$ lze BB[α]-strom sestavit, ale operace INSERT a DELETE by byly časově náročné. Pro $\alpha = 1$ by výška BB[α]-strom mohla být lineární.

Operace INSERT (DELETE je analogický)

- Najít list pro nový prvek a uložit do něho nový prvek (složitost: $\mathcal{O}(\log n)$)
- Jestliže některý vrchol porušuje vyvažovací podmínku, tak celý jeho podstrom znovu vytvoříme operací BUILD (složitost: amortizovaná analýza) ① ②

Amortizovaná časová složitost operací INSERT a DELETE: Agregovaná metoda

- Jestliže podstrom vrcholu u po provedení operace BUILD má s_u vrcholů, pak další porušení vyvažovací podmínky pro vrchol u nastane nejdříve po $\Omega(s_u)$ přidání/smazání prvků v podstromu vrcholu u (cvičení)
- Rebuild podstromu vrcholu u trvá $\mathcal{O}(s_u)$
- Amortizovaný čas vyvažování jednoho vrcholu je $\mathcal{O}(1)$ ③
- Při jedné operaci INSERT/DELETE se prvek přidá/smaže v $\Theta(\log n)$ podstromech
- Amortizovaný čas vyvažování při jedné operaci INSERT nebo DELETE je $\mathcal{O}(\log n)$
- Jaký je celkový čas k operací? ④

- 1 Při hledání listu pro nový vrchol stačí na cestě od kořene k listu kontrolovat, zda se přidáním vrcholu do podstromu syna neporuší vyvažovací podmínka. Pokud se v nějakém vrcholu podmínka poruší, tak se hledání ukončí a celý podstrom včetně nového prvku znovu vybuduje.
- 2 Existují pravidla pro rotování $BB[\alpha]$ -stromů, ale ta se nám dnes nehodí.
- 3 Operace BUILD podstromu vrcholu u trvá $\mathcal{O}(s_u)$ a mezi dvěma operacemi BUILD podstromu u je $\Omega(s_u)$ operací INSERT nebo DELETE do podstromu u . Všimněte si analogie a dynamickým polem.
- 4 Intuitivně bychom mohli říct, že v nejhorším případě $BB[\alpha]$ -strom nejprve vyvážíme v čase $\mathcal{O}(n)$ a poté provádíme jednotlivé operace, a proto celkový čas je $\mathcal{O}(n + k \log n)$, ale není to pravda. Proč?

Amortizovaná časová složitost operací INSERT a DELETE: Potenciální metoda

- V této analýze uvažujeme jen čas na postavení podstromu, zbytek trvá $\mathcal{O}(\log n)$
- Potenciál vrcholu u definován

$$\Phi(u) = \begin{cases} 0 & \text{pokud } |s_{l(u)} - s_{r(u)}| \leq 1 \\ |s_{l(u)} - s_{r(u)}| & \text{jinak,} \end{cases}$$

kde $l(u)$ a $r(u)$ jsou levý a pravý synové u .

- Potenciál BB[α]-stromu Φ je součet potenciálů vrcholů
- Při vložení/smazání prvku se potenciál $\Phi(u)$ jednoho vrcholu zvýší nejvýše o 2 ①
- Pokud nenastane Rebuild, pak se potenciál stromu zvýší nejvýše o $\mathcal{O}(\log(n))$ ②
- Pokud nastane Rebuild vrcholu u , pak $\Phi(u) \geq \alpha s_u - (1 - \alpha)s_u \geq (2\alpha - 1)s_u$
- Po rekonstrukci mají všechny vrcholy v podstromu u nulový potenciál ③
- Při rekonstrukci poklesne potenciál Φ alespoň o $\Omega(s_u)$, což zaplatí čas na rekonstrukci
- Dále platí $0 \leq \Phi \leq hn = \mathcal{O}(n \log n)$, kde h je výška stromu ④
- Celkový čas na k operací INSERT nebo DELETE je $\mathcal{O}((k + n) \log n)$

- 1 Potenciál se změní právě o 2, jestli rozdíl velikostí podstromů se změní z 1 na 2 nebo opačně. Jinak se potenciál změní právě o 1.
- 2 Potenciál se může změnit pouze vrcholům na cestě z kořene do nového/smazaného vrcholu a těch je $\mathcal{O}(\log n)$.
- 3 Právě zde potřebujeme, aby potenciál vrcholu byl nulový, i když se velikosti podstromů jeho synů liší o jedna.
- 4 Součet potenciálů všech vrcholů v jedné libovolné vrstvě je nejvýše n , protože každý vrchol patří do nejvýše jednoho podstromu vrcholu z dané vrstvy. Tudíž potenciál stromu Φ je vždy nejvýše nh . Též lze nahlédnout, že každý vrchol je započítán v nejvýše h potenciálech vrcholů.

- 1 Amortizovaná analýza
- 2 Vyhledávací stromy
 - BB[α]-strom
 - **Splay stromy**
 - (a,b)-stromy
 - Červeno-černý strom
- 3 Cache-oblivious algorithms
- 4 Haldy
- 5 Geometrické datové struktury
- 6 Hešování
- 7 Literatura

Cíl

Pro danou posloupnost operací FIND najít binární vyhledávací strom minimalizující celkovou dobu vyhledávání.

Formálně

Máme prvky x_1, \dots, x_n s váhami w_1, \dots, w_n . Cena stromu je $\sum_{i=1}^n w_i h_i$, kde h_i je hloubka prvku x_i . Staticky optimální strom je binární vyhledávací strom s minimální cenou.

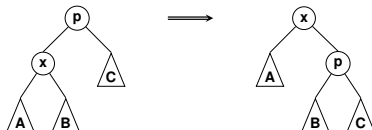
Konstrukce (cvičení)

- $\mathcal{O}(n^3)$ – triviálně dynamickým programováním
- $\mathcal{O}(n^2)$ – vylepšené dynamické programování (Knuth [7])

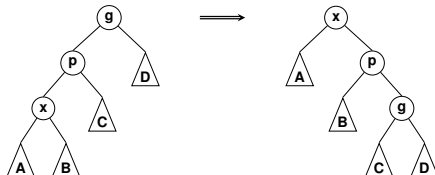
Jak postupovat, když neznáme váhy předem?

- Pomocí rotací bude udržovat často vyhledávané prvky blízko kořene
- Operací SPLAY „rotujeme“ zadaný prvek až do kořene
- Operace FIND vždy volá SPLAY na hledaný prvek

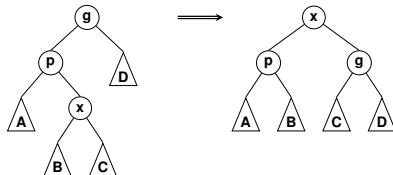
- Zig rotace: Otec p prvku x je kořen



- Zig-zig rotace: x a p jsou oba pravými nebo oba levými syny

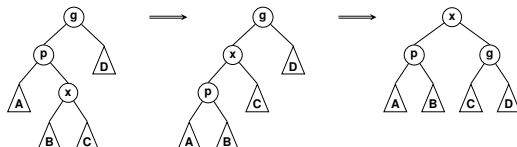


- Zig-zag rotace: x je pravý syn a p je levý syn nebo opačně

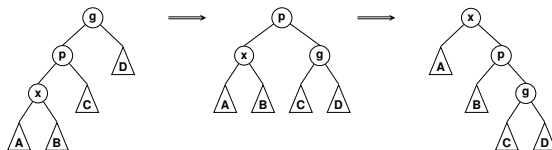


Uvažujeme *bottom-up* verzi, tj. prvek x nejprve najdeme a poté jej postupně rotujeme nahoru, což znamená, že x vždy značí stejný vrchol postupně se přesouvající ke kořeni a ostatní vrcholy stromu jsou sousedé odpovídající dané rotaci. Existuje též *top-down* verze [8], která vždy rotuje vnuka kořene, jehož podstrom obsahuje prvek x . Tato verze je sice v praxi rychlejší, ale postup a analýza jsou složitější.

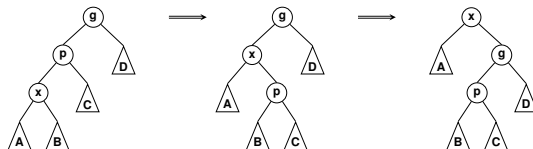
- Zig-zag rotace jsou pouze dvě jednoduché rotace prvku x s aktuálním otcem



- Zig-zig rotace jsou taky dvě rotace,



- ale dvě rotace prvku x s aktuálním otcem by vedli ke špatnému výsledku



Lemma

Pro $a, b, c \in \mathbb{R}^+$ splňující $a + b \leq c$ platí $\log_2(a) + \log_2(b) \leq 2 \log_2(c) - 2$.

Důkaz

- Platí $4ab = (a + b)^2 - (a - b)^2$
- Z nerovností $(a - b)^2 \geq 0$ a $a + b \leq c$ plyne $4ab \leq c^2$
- Zlogaritmováním dostáváme $\log_2(4) + \log_2(a) + \log_2(b) \leq \log_2(c^2)$

Značení

- Nechť velikost $s(x)$ je počet vrcholů v podstromu x (včetně x)
- Potenciál vrcholu x je $\Phi(x) = \log_2(s(x))$
- Potenciál Φ stromu je součet potenciálů všech vrcholů
- s' a Φ' jsou velikosti a potenciály po jedné rotaci
- Předkládáme, že jednoduchou rotaci zvládneme v jednotkovém čase

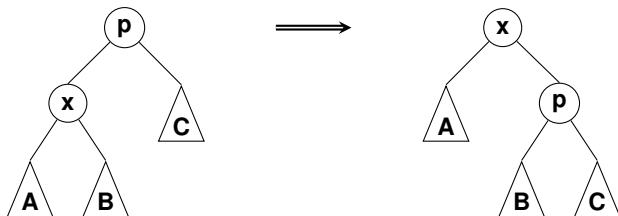
Lemma můžeme též dokázat pomocí Jensenovy nerovnosti, která tvrdí: Jestliže f je konvexní funkce, x_1, \dots, x_n jsou čísla z definičního oboru f a w_1, \dots, w_n jsou kladné váhy, pak platí nerovnost

$$f\left(\frac{\sum_{i=1}^n w_i x_i}{\sum_{i=1}^n w_i}\right) \leq \frac{\sum_{i=1}^n w_i f(x_i)}{\sum_{i=1}^n w_i}.$$

Jelikož funkce \log je rostoucí a konkávní, dostáváme

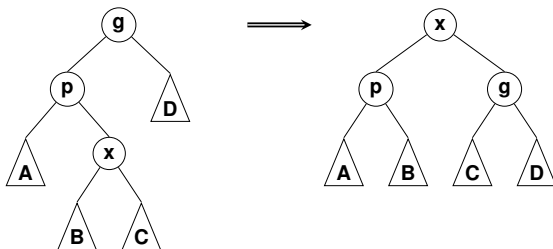
$$\frac{\log(a) + \log(b)}{2} \leq \log\left(\frac{a+b}{2}\right) \leq \log(c) - 1,$$

z čehož plyne znění lemmatu.



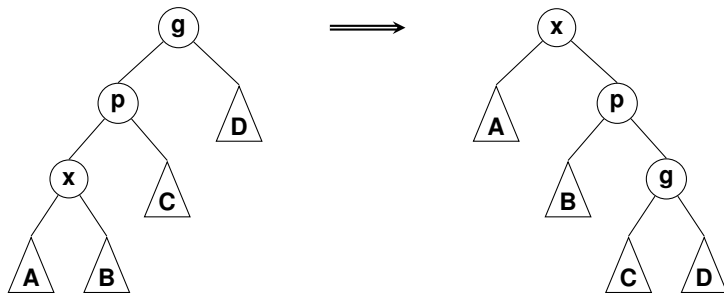
Analýza

- $\Phi'(x) = \Phi(p)$
- $\Phi'(p) < \Phi'(x)$
- $\Phi'(u) = \Phi(u)$ pro všechny ostatní vrcholy u
- $$\begin{aligned}\Phi' - \Phi &= \sum_u (\Phi'(u) - \Phi(u)) \\ &= \Phi'(p) - \Phi(p) + \Phi'(x) - \Phi(x) \\ &\leq \Phi'(x) - \Phi(x)\end{aligned}$$



Analýza

- 1 $\Phi'(x) = \Phi(g)$
- 2 $\Phi(x) < \Phi(p)$
- 3 $\Phi'(p) + \Phi'(g) \leq 2\Phi'(x) - 2$
 - $s'(p) + s'(g) \leq s'(x)$
 - Z lematu plyne $\log_2(s'(p)) + \log_2(s'(g)) \leq 2\log_2(s'(x)) - 2$
- 4 $\Phi' - \Phi = \Phi'(g) - \Phi(g) + \Phi'(p) - \Phi(p) + \Phi'(x) - \Phi(x) \leq 2(\Phi'(x) - \Phi(x)) - 2$



Analýza

- $\Phi'(x) = \Phi(g)$
- $\Phi(x) < \Phi(p)$
- $\Phi'(p) < \Phi'(x)$
- $s(x) + s'(g) \leq s'(x)$
- $\Phi(x) + \Phi'(g) \leq 2\Phi'(x) - 2$
- $\Phi' - \Phi = \Phi'(g) - \Phi(g) + \Phi'(p) - \Phi(p) + \Phi'(x) - \Phi(x) \leq 3(\Phi'(x) - \Phi(x)) - 2$

Amortizovaný čas

- Amortizovaný čas jedné zigzig nebo zigzag rotace:
 $T + \Phi' - \Phi \leq 2 + 3(\Phi'(x) - \Phi(x)) - 2 = 3(\Phi'(x) - \Phi(x))$ ①
- Amortizovaný čas jedné zig rotace:
 $T + \Phi' - \Phi \leq 1 + \Phi'(x) - \Phi(x) \leq 1 + 3(\Phi'(x) - \Phi(x))$
- Nechť Φ_i je potenciál po i -té rotaci a T_i je skutečný čas i -té rotace
- Amortizovaný čas (počet jednoduchých rotací) jedné operace SPLAY:

$$\begin{aligned} \sum_{i\text{-tá rotace}} (T_i + \Phi_i - \Phi_{i-1}) &\leq 1 + \sum_{i\text{-tá rotace}} 3(\Phi_i(x) - \Phi_{i-1}(x)) \\ &\leq 1 + 3(\Phi_{\text{konec}}(x) - \Phi_0(x)) \quad \text{②} \\ &\leq 1 + 3 \log_2 n = \mathcal{O}(\log n) \end{aligned}$$

- Amortizovaný čas jedné operace SPLAY je $\mathcal{O}(\log n)$

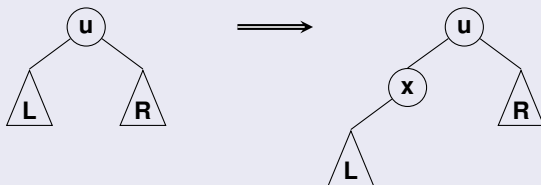
Skutečný čas k operací SPLAY

- Potenciál vždy splňuje $0 \leq \Phi \leq n \log_2 n$
- Rozdíl mezi konečným a počátečním potenciálem je nejvýše $n \log_2 n$
- Celkový čas k operací SPLAY je $\mathcal{O}((n + k) \log n)$

- 1 T značí skutečný čas rotace, což je počet jednoduchých rotací k provedení rotace zig, zigzig nebo zigzag.
- 2 Zig rotaci použijeme nejvýše jednou a proto započítáme „+1“. Rozdíly $\Phi'(x) - \Phi(x)$ se teleskopicky odečtou a zůstane nám rozdíl potenciálů vrcholu x na konci a na začátku operace SPLAY. Na počátku je potenciál vrcholu x nezáporný a na konci je x kořenem, a proto jeho potenciál je $\log_2(n)$.

Vložení prvku x

- 1 Najdeme vrchol u s klíčem, který je nejbližší k x
- 2 $\text{SPLAY}(u)$
- 3 Vložit nový vrchol s prvkem x



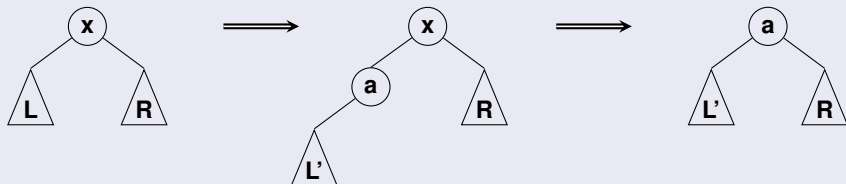
Amortizovaná složitost

- Operace FIND a SPLAY: $\mathcal{O}(\log n)$
- Vložením nového vrcholu potenciál Φ vzroste nejvýše o $\Phi'(x) + \Phi'(u) \leq 2 \log_2 n$
- Amortizovaná složitost operace INSERT je $\mathcal{O}(\log n)$

Algoritmus

```
1 Splay(x)
2  $L \leftarrow$  levý podstrom  $x$ 
3 if  $L$  je prázdný then
4   | Smazat vrchol  $x$ 
5 else
6   | Najít největší prvek  $a$  v  $L$ 
7   | Splay( $a$ )
8   |  $L' \leftarrow$  levý podstrom  $a$ 
9   | #  $a$  nemá pravého syna
   | Sloučit vrcholy  $x$  a  $a$ 
```

Pokud L je neprázdný, tak



Věta (vyhledávání prvků v rostoucím pořadí)

Jestliže posloupnost vyhledávání S obsahuje prvky v rostoucím pořadí, tak celkový čas na vyhledávání S ve splay stromu je $\mathcal{O}(n)$. ①

Věta (statická optimalita)

Nechť T je statický strom, $c_T(x)$ je počet navštívených vrcholů při hledání x a x_1, \dots, x_m je posloupnost obsahující všechny prvky. Pak libovolný splay strom provede $\mathcal{O}(\sum_{i=1}^m c_T(x_i))$ operací při hledání x_1, \dots, x_m . ②

Hypotéza (dynamická optimalita)

Nechť T je binární vyhledávací strom, který prvek x hledá od kořene vrcholu obsahující x a přitom provádí libovolné rotace. Cena jednoho vyhledání prvku je počet navštívených vrcholů plus počet rotací a $c_T(S)$ je součet cen vyhledání prvků v posloupnosti S . Pak cena vyhledání posloupnosti S v splay stromu je $\mathcal{O}(n + c_T(S))$. ③

- 1 n je opět počet prvků ve stromu a počáteční splay strom může mít prvky rozmístěné libovolně.
- 2 Každý prvek uložený ve stromě musíme aspoň jednou najít. Počáteční splay strom může mít prvky rozmístěné libovolně.
- 3 V dynamické optimalitě může T při vyhledávání provádět rotace, takže může být rychlejší než staticky optimální strom, například když S často po sobě vyhledává stejný prvek.

Výhody a nevýhody Splay stromů

- + Nepotřebuje paměť na speciální příznaky ①
- + Efektivně využívají procesorové cache (Temporal locality)
 - Rotace zpomalují vyhledávání
 - Vyhledávání nelze jednoduše paralelizovat
 - Výška stromu může být i lineární ②

Aplikace

- Cache, virtuální paměť, sítě, file system, komprese dat, ...
- Windows, gcc compiler and GNU C++ library, sed string editor, Fore Systems network routers, Unix malloc, Linux loadable kernel modules, ...

- 1 Červeno-černé stromy potřebují v každém vrcholu jeden bit na barvu, AVL stromy jeden bit na rozdíl výšek podstromů synů.
- 2 Když vyhledáme všechny prvky v rostoucím pořadí, pak strom zdegeneruje na cestu. Proto splay strom není vhodný v real-time systémech.

Stručné zadání

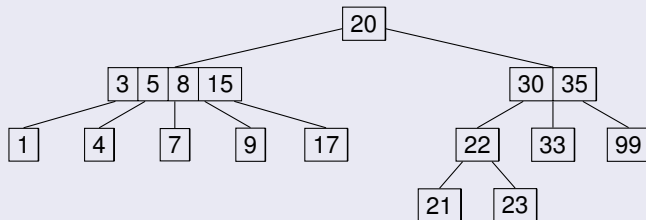
- Implementujte Splay strom s operacemi SPLAY, FIND, INSERT
- Implementujte „naivní Splay strom“, který v operaci SPLAY naivně používá jen jednoduché rotace místo dvojitých
- Měřte průměrnou hloubku hledaného prvku při operacích FIND
- Analyzujte závislost průměrné hloubky hledaných prvků na počtu prvků v Splay stromu a velikosti hledané podmnožiny
- Analyzujte průměrnou hloubku hledaných prvků v několika testech
- Napište program, který spočítá průměrnou hloubek prvků ve staticky optimálním stromu pro danou posloupnost vyhledávání
- Srovnajte průměrné hloubky hledaných prvků ve Splay stromu a ve staticky optimálním stromu
- Termín odevzdání: 28. 10. 2018, předtermín 21.10.2018
- Generátor dat a další podrobnosti: <https://ktiml.mff.cuni.cz/~fink/>

- 1 Amortizovaná analýza
- 2 Vyhledávací stromy
 - BB[α]-strom
 - Splay stromy
 - (a,b)-stromy
 - Červeno-černý strom
- 3 Cache-oblivious algorithms
- 4 Haldy
- 5 Geometrické datové struktury
- 6 Hešování
- 7 Literatura

Vlastnosti

- Vnitřní vrcholy mají libovolný počet synů (typicky alespoň dva)
- Vnitřní vrchol s k syny má $k - 1$ seříděných klíčů
- V každém vnitřním vrcholu je i -tý klíč větší než všechny klíče v i -tém podstromu a menší než všechny klíče v $(i + 1)$ podstromu pro všechny klíče i
- Prvky mohou být uloženy pouze v listech nebo též ve vnitřních vrcholech (u každého klíče je uložena i hodnota)

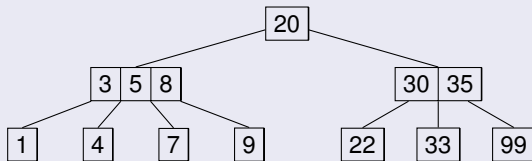
Příklad



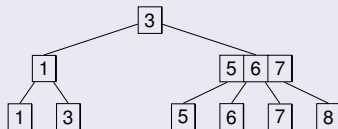
Vlastnosti

- a, b jsou celá čísla splňující $a \geq 2$ a $b \geq 2a - 1$
- (a,b)-strom je vyhledávací strom
- Všechny vnitřní vrcholy kromě kořene mají alespoň a synů a nejvýše b synů
- Kořen má nejvýše b synů
- Všechny listy jsou ve stejné výšce
- Pro zjednodušení uvažujeme, že prvky jsou jen v listech

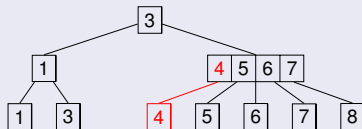
Příklad: (2,4)-strom



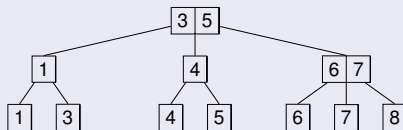
Vložte prvek s klíčem 4 do následujícího (2,4)-stromu



Nejprve najdeme správného otce, jemuž přidáme nový list



Opakovaně rozdělujeme vrchol na dva



Algoritmus

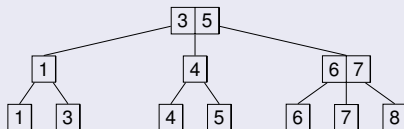
```
1 Najít otce  $v$ , kterému nový prvek patří
2 Přidat nový list do  $v$ 
3 while  $\deg(v) > b$  do
    # Najdeme otce  $u$  vrcholu  $v$ 
    4 if  $v$  je kořen then
        | Vytvořit nový kořen  $u$  s jediným synem  $v$ 
    6 else
        |  $u \leftarrow$  otec  $v$ 
    # Rozdělíme vrchol  $v$  na  $v$  and  $v'$ 
    8 Vytvořit nového syna  $v'$  utci  $u$  a umístit jej vpravo vedle  $v$ 
    9 Přesunout nejpravějších  $\lfloor (b+1)/2 \rfloor$  synů vrcholu  $v$  do  $v'$ 
    10 Přesunout nejpravějších  $\lfloor (b+1)/2 \rfloor - 1$  klíčů vrcholu  $v$  do  $v'$ 
    11 Přesunout poslední klíč vrcholu  $v$  do  $u$ 
    12  $v \leftarrow u$ 
```

Časová složitost

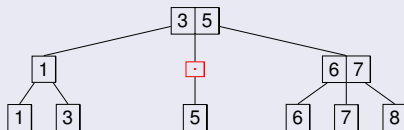
Lineární ve výšce stromu (předpokládáme, že a, b jsou pevné parametry)

Musíme ještě dokázat, že po provedení všech operací doopravdy dostaneme (a,b) -strom. Ověříme, že rozdělené vrcholy mají alespoň a synů (ostatní požadavky jsou triviální). Rozdělovaný vrchol má na počátku právě $b + 1$ synů a počet synů po rozdělení je $\lfloor \frac{b+1}{2} \rfloor$ a $\lceil \frac{b+1}{2} \rceil$. Protože $b \geq 2a - 1$, počet synů po rozdělení je alespoň $\lfloor \frac{b+1}{2} \rfloor \geq \lfloor \frac{2a-1+1}{2} \rfloor = \lfloor a \rfloor = a$.

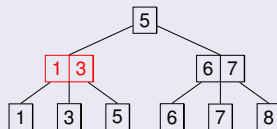
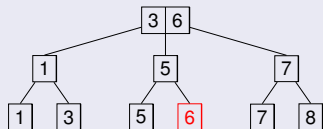
Smažte prvek s klíčem 4 z následujícího (2,4)-stromu



Nalezneme a smažeme list



Přesuneme jedno syna od bratra nebo spojíme vrchol s bratrem



Algoritmus

```
1 Najít list l obsahující prvek s daným klíčem
2  $v \leftarrow \text{otec } l$ 
3 Smazat l
4 while  $\text{deg}(v) < a$  &  $v$  není kořen do
5    $u \leftarrow \text{sousední bratr } v$ 
6   if  $\text{deg}(u) > a$  then
7     Přesunout správného syna  $u$  pod  $v$  ①
8   else
9     Přesunout všechny syny  $u$  pod  $v$  ②
10    Smazat  $u$ 
11    if  $v$  nemá žádného bratra then
12      Smazat kořen (otec  $v$ ) a nastavit  $v$  jako kořen
13    else
14       $v \leftarrow \text{otec } v$ 
```


- 1 Při přesunu je nutné upravit klíče ve vrcholech u , v a jejich otci.
- 2 Vrchol u měl a , vrchol v měl $a - 1$ synů. Po jejich sjednocení máme vrchol s $2a - 1 \leq b$ syny.

Výška

- (a,b)-strom výšky d má alespoň a^{d-1} a nejvýše b^d listů.
- Výška (a,b)-stromu splňuje $\log_b n \leq d \leq 1 + \log_a n$.

Složitost

Časová složitost operací Find, Insert and Delete je $\mathcal{O}(\log n)$.

Počet modifikovaných vrcholů při vytvoření stromu operací Insert

- Vytváříme (a,b)-strom pomocí operace Insert
- Zajímá nás celkový počet vyvažovacích operací ①
- Při každém štěpení vrcholu vytvoříme nový vnitřní vrchol
- Po vytvoření má strom nejvýše n vnitřních vrcholů
- Celkový počet štěpení je nejvýše n a počet modifikací vrcholů je $\mathcal{O}(n)$
- Amortizovaný počet modifikovaných vrcholů na jednu operaci Insert je $\mathcal{O}(1)$

- 1 Při jedné vyvažovací operaci (štěpení vrcholu) je počet modifikovaných vrcholů omezený konstantou (štěpený vrchol, otec a synové). Asymptoticky jsou počty modifikovaných vrcholů a vyvažovacích operací stejné.

Cíl

Umožnit efektní paralelizaci operací Find, Insert a Delete (předpoklad: $b \geq 2a$).

Operace Insert

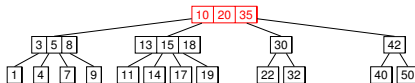
Preventivně rozdělit každý vrchol na cestě od kořene k hledanému listu s b syny na dva vrcholu.

Operace Delete

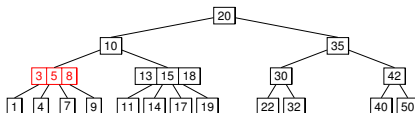
Preventivně sloučit každý vrchol na cestě od kořene k hledanému listu s a syny s bratrem nebo přesunout synovce.

(a,b)-strom: Paralelní přístup: Příklad

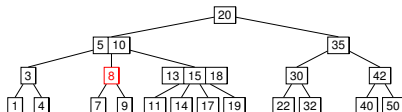
- Vložte prvek s klíčem 6 do následujícího (2,4)-stromu



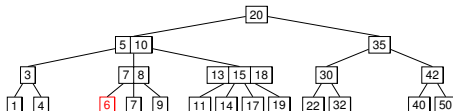
- Nejprve rozdělíme kořen



- Pak pokračujeme do levého syna, který taky rozdělíme



- Vrchol s klíčem 8 není třeba rozdělovat a nový klíč můžeme vložit



Cíl

Seřadit „skoro“ seříděné pole

Modifikace (a,b)-stromu

Máme uložený ukazatel na vrchol s nejmenším klíčem

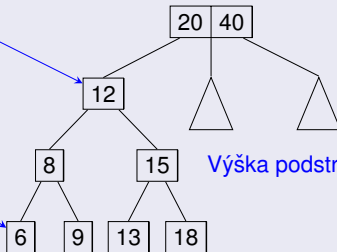
Příklad: Vložte klíč s hodnotou $x_i = 16$

- Začneme od vrcholu s nejmenším klíčem a postupujeme ke kořeni, dokud x_i nepatří podstromu aktuálního vrcholu
- V rámci tohoto podstromu spustíme operaci Insert
- Výška podstromu je $\Theta(\log f_i)$, kde f_i je počet klíčů menších než x_i

Prvek $x_i = 16$
patří do tohoto
podstromu

Nejmenší klíč

Výška podstromu



Input: Posloupnost x_1, x_2, \dots, x_n

```
1  $T \leftarrow$  prázdný (a,b)-strom
2 for  $i \leftarrow n$  to 1 # Prvky procházíme od konce
3 do
    # Najdeme podstrom, do kterého vložíme  $x_i$ 
4     $v \leftarrow$  list s nejmenším klíčem
5    while  $v$  není kořen a  $x_i$  je větší než nejmenší klíč v otci vrcholu  $v$  do
6         $v \leftarrow$  otec  $v$ 
7    Vložíme  $x_i$  do podstromu vrcholu  $v$ 
```

Output: Projdeme celý strom a vypíšeme všechny klíče (in-order traversal)

Nerovnost mezi aritmetickým a geometrickým průměrem

Jestliže a_1, \dots, a_n nezáporná reálná čísla, pak platí

$$\frac{\sum_{i=1}^n a_i}{n} \geq \sqrt[n]{\prod_{i=1}^n a_i}.$$

Časová složitost

- 1 Nechť $f_i = |\{j > i; x_j < x_i\}|$ je počet klíčů menších než x_i , které již jsou ve stromu při vkládání x_i
- 2 Nechť $F = |\{(i, j); i > j, x_i < x_j\}| = \sum_{i=1}^n f_i$ je počet inverzí
- 3 Složitost nalezení podstromu, do kterého x_i patří: $\mathcal{O}(\log f_i)$
- 4 Nalezení těchto podstromů pro všechny podstromy
 $\sum_i \log f_i = \log \prod_i f_i = n \log \sqrt[n]{\prod_i f_i} \leq n \log \frac{\sum_i f_i}{n} = n \log \frac{F}{n}$. ①
- 5 Rozdělování vrcholů v průběhu všech operací Insert: $\mathcal{O}(n)$
- 6 Celková složitost: $\mathcal{O}(n + n \log(F/n))$
- 7 Složitost v nejhorším případě: $\mathcal{O}(n \log n)$ protože $F \leq \binom{n}{2}$
- 8 Jestliže $F \leq n \log n$, pak složitost je $\mathcal{O}(n \log \log n)$ ②

- 1 Místo AG nerovnosti můžeme použít Jensenovu nerovnost, ze které přímo plyne $\frac{\sum_i \log f_i}{n} \leq \log \frac{\sum_i f_i}{n}$.
- 2 Tento algoritmus je bohužel efektivní jen pro "hodně skoro"setříděné posloupnosti. Jestliže počet inverzí je $n^{1+\epsilon}$, pak dostáváme složitost střídění $\mathcal{O}(n \log n)$, kde ϵ je libovolně malé kladné číslo.

Počet modifikovaných vrcholů při operacích Insert a Delete [6]

- Předpoklad: $b \geq 2a$
- Počet modifikovaných vrcholů při l operacích Insert a k Delete je $\mathcal{O}(k + l + \log n)$
- Amortizovaný počet modifikovaných vrcholů při operacích Insert a Delete je $\mathcal{O}(1)$

Podobné datové struktury

- B-tree, B+ tree, B* tree
- 2-4-tree, 2-3-4-tree, etc.

Aplikace

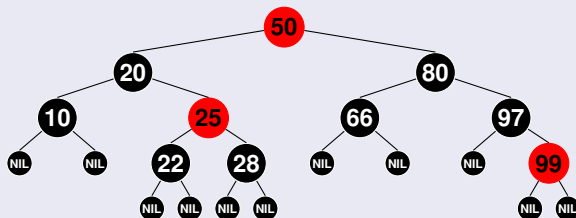
- File systems např. Ext4, NTFS, HFS+, FAT
- Databáze

- 1 Amortizovaná analýza
- 2 Vyhledávací stromy
 - $BB[\alpha]$ -strom
 - Splay stromy
 - (a,b) -stromy
 - Červeno-černý strom
- 3 Cache-oblivious algorithms
- 4 Haldy
- 5 Geometrické datové struktury
- 6 Hešování
- 7 Literatura

Definice

- 1 Binární vyhledávací strom s prvky uloženými ve všech vrcholech
- 2 Každý vrchol je černý nebo červený
- 3 Všechny cesty od kořene do listů obsahují stejný počet černých vrcholů
- 4 Otec červeného vrcholu musí být černý
- 5 Listy jsou černé ①

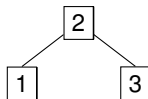
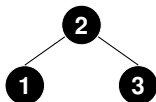
Příklad



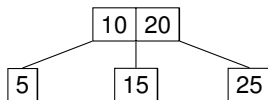
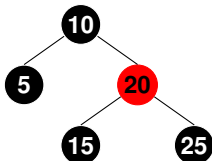
- 1 Nepovinná podmínka, která jen zjednodušuje operace. V příkladu uvažujeme, že listy jsou reprezentovány NIL/NULL ukazateli, a tedy imaginární vrcholy bez prvků.
Někdy se též vyžaduje, aby kořen byl černý, ale tato podmínka není nutná, protože kořen můžeme vždy přebarvit na černo bez porušení ostatních podmínek.

Červeno-černé stromy: Ekvivalence s (2,4)-stromy

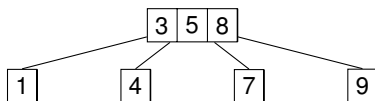
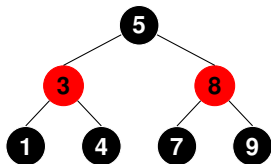
- Vrchol bez červených synů



- Vrchol s jedním červeným synem ①



- Vrchol s dvěma červenými syny



- 1 Převod mezi červeno-černými stromy a (2,4)-stromy není jednoznačný, protože vrchol (2,4)-stromu se třemi syny a prvky $x < y$ lze převést na černý vrchol červeno-černého stromu s prvkem x a pravým červeným synem y nebo s prvkem y a levým červeným synem x .

Vytvoření nového vrcholu

- Najít list pro nový prvek n
- Přidat nový vrchol



- Pokud otec p je červený, pak je nutné strom vybalancovat

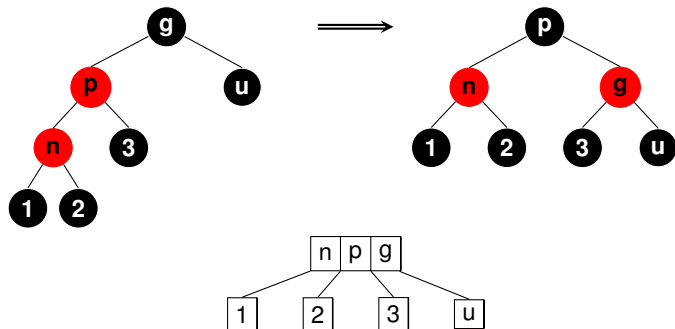
Balancování

- Vrchol n a jeho otec p jsou červené vrcholy a toto je jediná porušená podmínka
- Děda g vrcholu n je černý

Musíme uvažovat tyto případy:

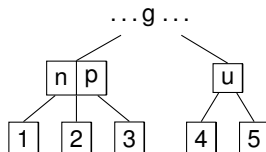
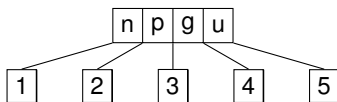
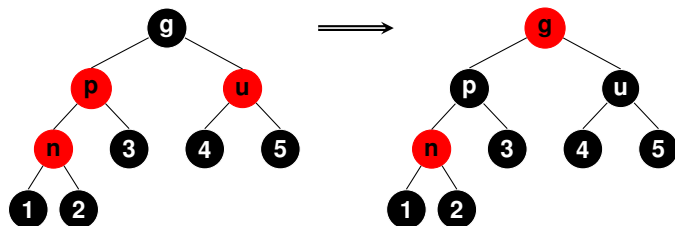
- Strýc u je černý nebo červený
- Vrchol n je pravým nebo levým synem p (podobně pro vrchol p) ①

- 1 S využitím symetrií lze počet případů snížit.



Pořadí prvků v (2,4)-stromu a výsledný červeno-černý strom závisí na tom, zda vrchol *n* je pravým nebo levým synem *p* a zda vrchol *p* je pravým nebo levým synem *g*.

Červeno-černé stromy: Operace Insert, strýc je červený



Po rozdělení vrchol (2,4)-stromu se prvek *g* přesouvá do otce, a proto je vrchol *g* červený.

Důsledky ekvivalence s (2,4)-stromy

- Výška červeno-černého stromu je $\Theta(\log n)$ ^①
- Časová složitost operací Find, Insert a Delete je $\mathcal{O}(\log n)$
- Amortizovaný počet modifikovaných vrcholů při operacích Insert a Delete je $\mathcal{O}(1)$
- Paralelní přístup (top-down balancování)

Aplikace

- Asociativní pole např. `std::map` and `std::set` v C++, `TreeMap` v Java
- The Completely Fair Scheduler in the Linux kernel
- Computational Geometry Data structures

- 1 Počet černých vrcholů na cestě ke kořeni je stejný jako výška odpovídajícího (2,4)-stromu, a tedy výška červeno-černého stromu je nejvýše dvojnásobek výšky (2,4)-stromu.

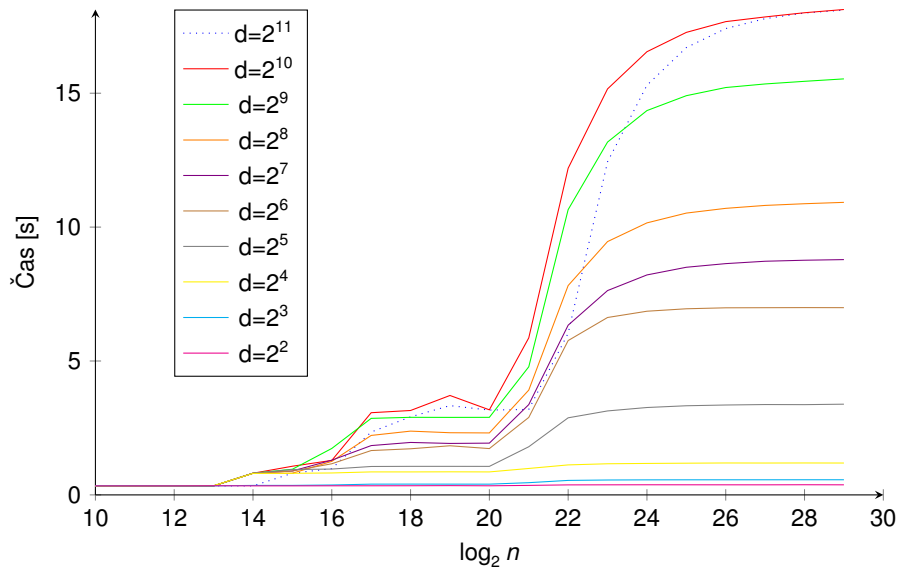
- 1 Amortizovaná analýza
- 2 Vyhledávací stromy
- 3 Cache-oblivious algorithms**
- 4 Haldy
- 5 Geometrické datové struktury
- 6 Hešování
- 7 Literatura

Příklad velikostí a rychlostí různých typů pamětí

	size	speed
L1 cache	32 KB	223 GB/s
L2 cache	256 KB	96 GB/s
L3 cache	8 MB	62 GB/s
RAM	32 GB	23 GB/s
SDD	112 GB	448 MB/s
HDD	2 TB	112 MB/s

Triviální program

```
# Inicializace pole 32-bitových čísel velikosti  $n$ 
1 for ( $i=0; i+d < n; i+=d$ ) do
2    $A[i] = i+d$  # Vezmeme každou  $d$ -tou pozici a vytvoříme cyklus
3  $A[i]=0, i=0$ 
# Měříme dobu průběhu cyklu v závislosti na parametrech  $n$  a  $d$ 
# Počet operací je nezávislý na  $n$  a  $d$ 
4 for ( $j=0; j < 2^{28}; j++$ ) do
5    $i = A[i]$  # Dokola procházíme cyklus  $d$ -tých pozic
```



Zjednodušený model paměti

- Uvažujeme pouze na dvě úrovně paměti: pomalý disk a rychlá cache
- Paměť je rozdělená na bloky (stránky) velikosti B ①
- Velikost cache je M , takže cache má $P = \frac{M}{B}$ bloků
- Procesor může přistupovat pouze k datům uložených v cache
- Paměť je plně asociativní ②
- Data se mezi diskem a cache přesouvají po celých blocích a našim cílem je určit počet bloků načtených do cache

Cache-aware algoritmus

Algoritmus zná hodnoty M a B a podle nich nastavuje parametry (např. velikost vrcholu B-stromu při ukládání dat na disk).

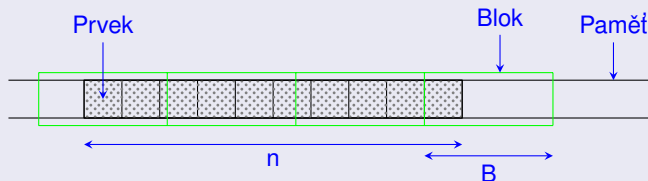
Cache-oblivious algoritmus

Algoritmus musí efektivně fungovat bez znalostí hodnot M a B . Důsledky:

- Není třeba nastavovat parametry programu, který je tak přenositelnější
- Algoritmus dobře funguje mezi libovolnými úrovněmi paměti (L1 – L2 – L3 – RAM)

- 1 Pro zjednodušení předpokládáme, že jeden prvek zabírá jednotkový prostor, takže do jednoho bloku se vejde B prvků.
- 2 Předpokládáme, že každý blok z disku může být uložený na libovolné pozici v cache. Tento předpoklad výrazně zjednodušuje analýzu, i když na reálných počítačích moc neplatí, viz https://en.wikipedia.org/wiki/CPU_cache#Associativity.

Přečtení souvislého pole (výpočet maxima, součtu a podobně)



- Minimální možný počet přenesených bloků je $\lceil n/B \rceil$.
- Skutečný počet přenesených bloků je nejvýše $\lceil n/B \rceil + 1$.
- Předpokládáme, že máme k dispozici $\mathcal{O}(1)$ registrů k uložení iterátoru a maxima.

Obrácení pole

Počet přenesených bloků je stejný za předpokladu, že $P \geq 2$.

Binární halda v poli: Průchod od listu ke kořeni



- 1 Cesta má $\Theta(\log n)$ vrcholů
- 2 Posledních $\Theta(\log B)$ vrcholů leží v nejvýše dvou blocích
- 3 Ostatní vrcholy jsou uloženy v po dvou různých blocích
- 4 $\Theta(\log n - \log B) = \Theta(\log \frac{n}{B})$ přenesených bloků ①

Binární vyhledávání

- Porovnáváme $\Theta(\log n)$ prvků s hledaným prvkem ②
- Posledních $\Theta(\log B)$ prvků je uloženo v nejvýše dvou blocích
- Ostatní prvky jsou uloženy v po dvou různých blocích
- $\Theta(\log n - \log B)$ přenesených bloků

- 1 Přesněji $\Theta(\max \{1, \log n - \log B\})$. Dále předpokládáme, že $n \geq B$.
- 2 Pro jednoduchost uvažujeme neúspěšné vyhledávání.

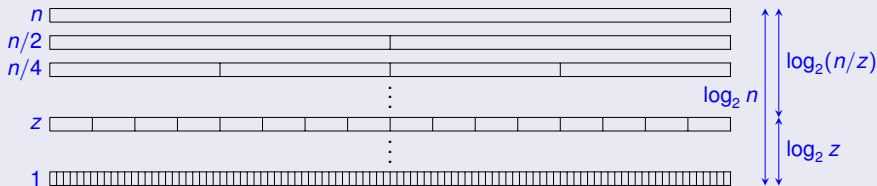
Případ $n \leq M/2$

Celé pole se vejde do cache, takže přenášíme $2n/B + \mathcal{O}(1)$ bloků. ①

Schéma

Délka spojovaných polí

Výška stromu rekurze



Případ $n > M/2$

- ① Nechť z je maximální velikost pole, která může být setříděná v cache ②
- ② Platí $z \leq \frac{M}{2} < 2z$
- ③ Slití jedné úrovně vyžaduje $2\frac{n}{B} + 2\frac{n}{z} + \mathcal{O}(1) = \mathcal{O}(\frac{n}{B})$ přenosů. ③
- ④ Počet přenesených bloků je $\mathcal{O}(\frac{n}{B}) (1 + \log_2 \frac{n}{z}) = \mathcal{O}(\frac{n}{B} \log \frac{n}{M})$. ④

- 1 Polovina cache je použita na vstupní pole a druhá polovina na slité pole.
- 2 Pro jednoduchost předpokládáme, že velikosti polí v jedné úrovni rekurze jsou stejné. z odpovídá velikosti pole v úrovni rekurze takové, že dvě pole velikost $z/2$ mohou být slity v jedno pole velikost z .
- 3 Slití všech polí v jedné úrovni do polovičního počtu polí dvojnásobné délky vyžaduje přečtení všech prvků. Navíc je třeba uvažovat nezarovnání polí a bloků, takže hraniční bloky mohou patřit do dvou polí.
- 4 Funnelsort přenese $\mathcal{O}\left(\frac{n}{B} \log_P \frac{n}{B}\right)$ bloků.

Strategie pro výměnu stránek v cache

- OPT:** Optimální off-line algoritmus předpokládající znalost všech přístupů do paměti
- FIFO:** Z cache smažeme stránku, která je ze všech stránek v cachi nejdelší dobu
- LRU:** Z cache smažeme stránku, která je ze všech stránek v cachi nejdéle nepoužitá

Triviální algoritmus pro transpozici matice A velikost $k \times k$

```
1 for  $i \leftarrow 1$  to  $k$  do  
2   for  $j \leftarrow i + 1$  to  $k$  do  
3      $\text{Swap}(A_{ij}, A_{ji})$ 
```

Předpoklady

Uvažujeme pouze případ

- $B < k$: Do jednoho bloku cache se nevejde celá řádka matice
- $P < k$: Do cache se nevejde celý sloupec matice

Příklad: Representace matice 5×5 v paměti

11	12	13	14	15	21	22	23	24	25	31	32	33	34	35	41	42	43	44	45	51	52	53	54	55
----	----	----	----	----	----	----	----	----	----	----	----	----	----	----	----	----	----	----	----	----	----	----	----	----

LRU a FIFO strategie

Při čtení matice po sloupcích si cache pamatuje posledních P řádků, takže při čtení prvku $A_{3,2}$ již prvek $A_{3,1}$ není v cache. Počet přenesených bloků je $\Omega(k^2)$.

OPT strategie

- 1 Transpozice prvního řádku/sloupce vyžaduje alespoň $k - 1$ přenosů.
- 2 Nejvýše P prvků z druhého sloupce zůstane v cache.
- 3 Proto transpozice druhého řádku/sloupce vyžaduje alespoň $k - P - 2$ přenosů.
- 4 Transpozice i -tého řádku/sloupce vyžaduje alespoň $\max\{0, k - P - i\}$ přenosů.
- 5 Celkový počet přenosu je alespoň $\sum_{i=1}^{k-P} k - P - i = \Omega((k - P)^2)$.

Cache-aware algoritmus pro transpozici matice A velikost $k \times k$

```
# Nejprve si rozdělíme danou matici na submatice velikosti  $z \times z$ 
1 for ( $i = 0; i < k; i += z$ ) do
2   for ( $j = i; j < k; j += z$ ) do
3     # Transponujeme submatici začínající na pozici  $(i, j)$ 
4     for ( $ii = i; ii < \min(k, i + z); ii ++$ ) do
5       for ( $jj = \max(j, ii + 1); jj < \min(k, j + z); jj ++$ ) do
        |   Swap( $A_{ii,jj}, A_{jj,ii}$ )
```

Hodnocení

- Optimální hodnota z závisí na konkrétním počítači
- Využíváme jen jednu úroveň cache
- Při správně zvolené hodnotě z bývá tento postup nejrychlejší

Idea

Rekurzivně rozdělíme na submatice

$$A = \begin{pmatrix} A_{11} & A_{12} \\ A_{21} & A_{22} \end{pmatrix} \quad A^T = \begin{pmatrix} A_{11}^T & A_{21}^T \\ A_{12}^T & A_{22}^T \end{pmatrix}$$

Matice A_{11} a A_{22} se transponují podle stejného schématu, ale A_{12} a A_{21} se prohazují.

```
1 Procedure transpose_on_diagonal ( $A$ )
2   if Matice  $A$  je malá then
3     Transponujeme matici  $A$  triviálním postupem
4   else
5      $A_{11}, A_{12}, A_{21}, A_{22} \leftarrow$  souřadnice submatic
6     transpose_on_diagonal ( $A_{11}$ )
7     transpose_on_diagonal ( $A_{22}$ )
8     transpose_and_swap ( $A_{12}, A_{21}$ )
9 Procedure transpose_and_swap ( $A, B$ )
10  if Matice  $A$  a  $B$  jsou malé then
11    Prohodíme a transponujeme matice  $A$  a  $B$  triviálním postupem
12  else
13     $A_{11}, A_{12}, A_{21}, A_{22}, B_{11}, B_{12}, B_{21}, B_{22} \leftarrow$  souřadnice submatic
14    transpose_and_swap ( $A_{11}, B_{11}$ )
15    transpose_and_swap ( $A_{12}, B_{21}$ )
16    transpose_and_swap ( $A_{21}, B_{12}$ )
17    transpose_and_swap ( $A_{22}, B_{22}$ )
```

Analýza počtu přenesených bloků

- 1 Předpoklad „Tall cache“: $M \geq 4B^2$, tj. počet bloků je alespoň $4B$ ①
- 2 Nechť z je maximální velikost submatice, ve které se jeden řádek vejde do jednoho bloku ②
- 3 Platí: $z \leq B \leq 2z$
- 4 Jedna submatice $z \times z$ je uložena v nejvýše $2z \leq 2B$ blocích
- 5 Dvě submatice $z \times z$ se vejdou do cache ③
- 6 Transpozice matice typu $z \times z$ vyžaduje nejvýše $4z$ přenosů
- 7 Máme $(k/z)^2$ submatic velikosti z
- 8 Celkový počet přenesených bloků je nejvýše $\frac{k^2}{z^2} \cdot 4z \leq \frac{8k^2}{B} = \mathcal{O}\left(\frac{k^2}{B}\right)$
- 9 Tento postup je optimální až na multiplikativní faktor ④

- 1 Stačilo by předpokládat, že počet bloků je alespoň $\Omega(B)$. Máme-li alespoň $4B$ bloků, pak je postup algebraicky jednodušší.
- 2 Pokud začátek řádky není na začátku bloku, tak je jeden řádek submatice uložen ve dvou blocích.
- 3 Funkce `transpose_and_swap` pracujeme se dvěma submaticemi.
- 4 Celá matice je uložena v alespoň $\frac{k^2}{B}$ blocích paměti.

Cíl

Sestrojit reprezentaci binárního stromu efektivně využívající cache.
Počítáme počet načtených bloků při průchodu cesty z listu do kořene.

Binární halda

Velmi neefektivní: Počet přenesených bloků je $\Theta(\log n - \log B) = \Theta(\log \frac{n}{B})$

B-regulární halda, B-strom

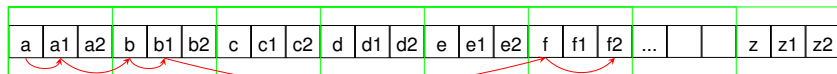
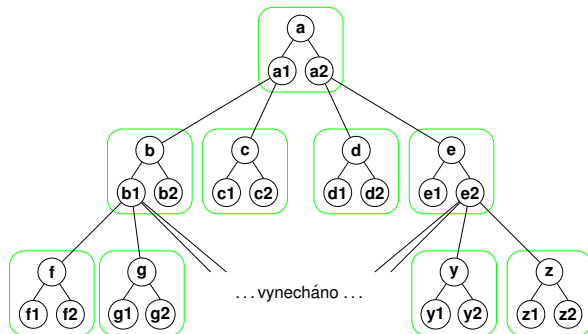
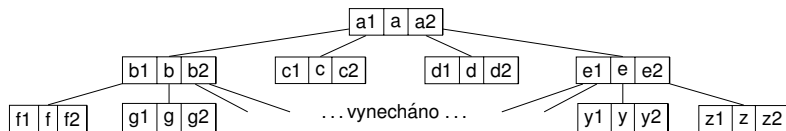
- Výška stromu je $\log_B(n) + \Theta(1)$ ①
- Jeden vrchol je uložen v nejvýše dvou blocích
- Počet načtených bloků je $\Theta(\log_B(n))$ ②
- Nevýhody: cache-aware a chtěli jsme binární strom

Převedení na binární strom

Každý vrchol B-regulární haldy nahradíme binárním stromem.

- 1 Platí pro B-regulární haldu. B-strom má výšku $\Theta(\log_B(n))$.
- 2 Asymptoticky optimální řešení — důkaz je založen na Information theory.

Cache-oblivious analýza: Reprezentace binárních stromů

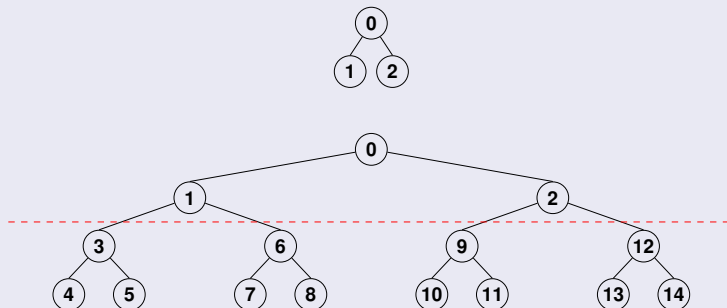


Cesta z kořene do listu f2

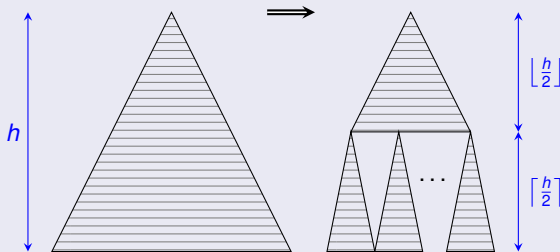
Rekurzivní „bottom-up“ konstrukce van Emde Boas rozložení

- van Emde Boas rozložení vEB_0 řádu 0 je jeden vrchol
- vEB_k obsahuje jednu „horní“ kopii vEB_{k-1} a každému listu „horní“ kopie má dvě „dolní“ kopie vEB_{k-1}
- V poli jsou nejprve uložena „horní“ kopie a pak následují všechny „dolní“ kopie

Pořadí vrcholů v poli podle van Emde Boas rozložení



Rekurzivní „top-down“ konstrukce van Emde Boas rozložení



Výpočet počtu načtených bloků při cestě z kořene do listu

- Nechť $h = \log_2 n$ je výška stromu
- Nechť z je maximální výška podstromu, který se vejde do jednoho bloku
- Platí: $z \leq \log_2 B \leq 2z$
- Počet podstromů výšky z na cestě z kořene do listu je $\frac{h}{z} \leq \frac{2 \log_2 n}{\log_2 B} = 2 \log_B n$
- Počet načtených bloků je $\Theta(\log_B n)$

Věta (Sleator, Tarjan [11])

- Nechť s_1, \dots, s_k je posloupnost přístupů do paměti ①
- Nechť P_{OPT} a P_{LRU} je počet bloků v cache pro strategie OPT a LRU ②
- Nechť F_{OPT} a F_{LRU} je počet přenesených bloků ③
- $P_{\text{LRU}} > P_{\text{OPT}}$

Pak $F_{\text{LRU}} \leq \frac{P_{\text{LRU}}}{P_{\text{LRU}} - P_{\text{OPT}}} F_{\text{OPT}} + P_{\text{OPT}}$

Důsledek

Pokud LRU může uložit dvojnásobný počet bloků v cache oproti OPT, pak LRU má nejvýše dvojnásobný počet přenesených bloků oproti OPT (plus P_{OPT}). ④

Zdvojnásobení velikosti cache nemá většinou vliv na asymptotický počet přenesených bloků

- Scanning: $\mathcal{O}(n/B)$
- Mergesort: $\mathcal{O}\left(\frac{n}{B} \log \frac{n}{M}\right)$
- Funnelsort: $\mathcal{O}\left(\frac{n}{B} \log_P \frac{n}{B}\right)$
- The van Emde Boas layout: $\mathcal{O}(\log_B n)$

- ① s_i značí blok paměti, se kterým program pracuje, a proto musí být načten do cache. Posloupnost s_1, \dots, s_k je pořadí bloků paměti, ve kterém algoritmus pracuje s daty. Při opakovaném přístupu do stejného bloku se blok posloupnosti opakuje.
- ② Představme si, že OPT strategie pustíme na počítači s P_{OPT} bloky v cache a LRU strategie spustíme na počítači s P_{OPT} bloky v cache.
- ③ Srovnáváme počet přenesených bloků OPT strategie na počítači s P_{OPT} bloky a LRU strategie na počítači s P_{OPT} bloky.
- ④ Formálně: Jestliže $P_{\text{LRU}} = 2P_{\text{OPT}}$, pak $F_{\text{LRU}} \leq 2F_{\text{OPT}} + P_{\text{OPT}}$.

Důkaz ($F_{LRU} \leq \frac{P_{LRU}}{P_{LRU} - P_{OPT}} F_{OPT} + P_{OPT}$)

- ❶ Pokud LRU má $f \leq P_{LRU}$ přenesených bloků v podposloupnosti s , pak OPT přeneše alespoň $f - P_{OPT}$ bloků v podposloupnosti s
 - Pokud LRU načte v podposloupnost f různých bloků, tak podposloupnost obsahuje alespoň f různých bloků
 - Pokud LRU načte v podposloupnost jeden blok dvakrát, tak podposloupnost obsahuje alespoň $P_{LRU} \geq f$ různých bloků
 - OPT má před zpracováním podposloupnosti nejvýše P_{OPT} bloků z podposloupnosti v cache a zbylých alespoň $f - P_{OPT}$ musí načíst
- ❷ Rozdělíme posloupnost s_1, \dots, s_k na podposloupnosti tak, že LRU přeneše P_{LRU} bloků v každé podposloupnosti (kromě poslední)
- ❸ Jestliže F'_{OPT} and F'_{LRU} jsou počty přenesených bloků při zpracování libovolné podposloupnosti, pak $F'_{LRU} \leq \frac{P_{LRU}}{P_{LRU} - P_{OPT}} F'_{OPT}$ (kromě poslední)
 - OPT přeneše $F'_{OPT} \geq P_{LRU} - P_{OPT}$ bloků v každé podposloupnosti
 - Tedy $\frac{F'_{LRU}}{F'_{OPT}} \leq \frac{P_{LRU}}{P_{LRU} - P_{OPT}}$
- ❹ V poslední posloupnosti platí $F''_{LRU} \leq \frac{P_{LRU}}{P_{LRU} - P_{OPT}} F''_{OPT} + P_{OPT}$
 - Platí $F''_{OPT} \geq F''_{LRU} - P_{OPT}$ a $1 \leq \frac{P_{LRU}}{P_{LRU} - P_{OPT}}$
 - Tedy $F''_{LRU} \leq F''_{OPT} + P_{OPT} \leq \frac{P_{LRU}}{P_{LRU} - P_{OPT}} F''_{OPT} + P_{OPT}$

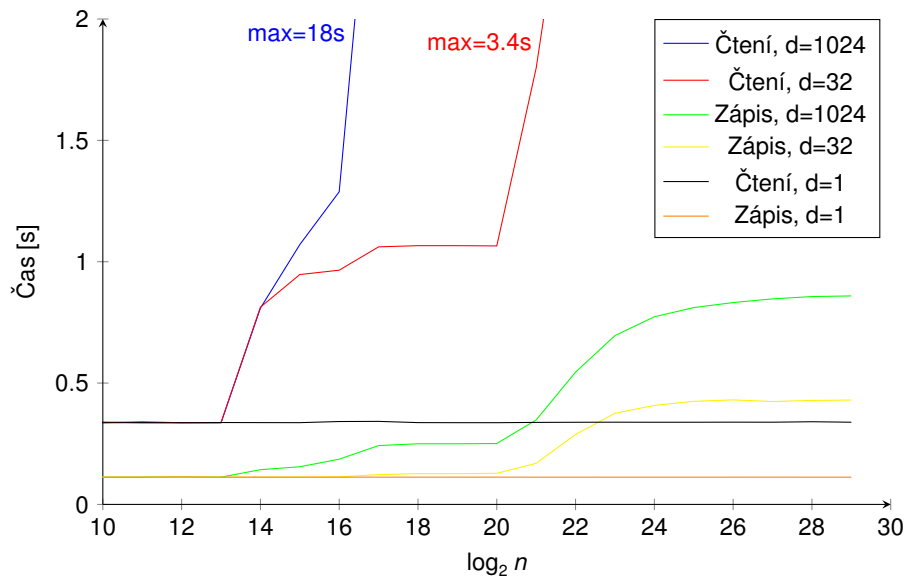
Čtení z paměti

```
# Inicializace pole 32-bitových čísel velikosti  $n$ 
1 for ( $i=0$ ;  $i+d < n$ ;  $i+=d$ ) do
2   |  $A[i] = i+d$  # Vezmeme každou  $d$ -tou pozici a vytvoříme cyklus
3  $A[i=0]=0$ 
# Měříme dobu průběhu cyklu v závislosti na parametrech  $n$  a  $d$ 
4 for ( $j=0$ ;  $j < 2^{28}$ ;  $j++$ ) do
5   |  $i = A[i]$  # Dokola procházíme cyklus  $d$ -tých pozic
```

Zápis do paměti

```
# Měříme dobu průběhu cyklu v závislosti na parametrech  $n$  a  $d$ 
1 for ( $j=0$ ;  $j < 2^{28}$ ;  $j++$ ) do
2   |  $A[(j*d) \% n] = j$  # Dokola zapisujeme na  $d$ -té pozice
```

Srovnání rychlosti čtení a zápisu z paměti



Která varianta je rychlejší a o kolik?

```
# Použijeme modulo:
1 for ( $j=0; j < 2^{28}; j++$ ) do
2   |  $A[j*d \% n] = j$ 

# Použijeme bitovou konjunkci:
3  $mask = n - 1$  # Předpokládáme, že  $n$  je mocnina dvojky
4 for ( $j=0; j < 2^{28}; j++$ ) do
5   |  $A[j*d \& mask] = j$ 
```

Jak dlouho poběží výpočet vynecháme-li poslední řádek?

```
1 for ( $i=0; i+d < n; i+=d$ ) do
2   |  $A[i] = i+d$ 
3  $A[i=0]=0$ 
# Měříme dobu průběhu cyklu v závislosti na parametrech  $n$  a  $d$ 
4 for ( $j=0; j < 2^{28}; j++$ ) do
5   |  $i = A[j]$ 
6 printf("%d\n", i);
```

- 1 Amortizovaná analýza
- 2 Vyhledávací stromy
- 3 Cache-oblivious algorithms
- 4 Haldy**
- 5 Geometrické datové struktury
- 6 Hešování
- 7 Literatura

- 1 Amortizovaná analýza
- 2 Vyhledávací stromy
- 3 Cache-oblivious algorithms
- 4 Haldy
- 5 Geometrické datové struktury**
- 6 Hešování
- 7 Literatura

- 1 Amortizovaná analýza
- 2 Vyhledávací stromy
- 3 Cache-oblivious algorithms
- 4 Haldy
- 5 Geometrické datové struktury
- 6 Hešování**
- 7 Literatura

- 1 Amortizovaná analýza
- 2 Vyhledávací stromy
- 3 Cache-oblivious algorithms
- 4 Haldy
- 5 Geometrické datové struktury
- 6 Hešování
- 7 Literatura**

- [1] R Bayer and E McCreight.
Organization and maintenance of large ordered indexes.
Acta Informatica, 1:173–189, 1972.
- [2] Mark R Brown and Robert E Tarjan.
A representation for linear lists with movable fingers.
In Proceedings of the tenth annual ACM symposium on Theory of computing,
pages 19–29. ACM, 1978.
- [3] Matteo Frigo, Charles E Leiserson, Harald Prokop, and Sridhar Ramachandran.
Cache-oblivious algorithms.
In Foundations of Computer Science, 1999. 40th Annual Symposium on, pages
285–297, 1999.
- [4] Leo J Guibas, Edward M McCreight, Michael F Plass, and Janet R Roberts.
A new representation for linear lists.
In Proceedings of the ninth annual ACM symposium on Theory of computing,
pages 49–60. ACM, 1977.
- [5] Leo J Guibas and Robert Sedgewick.
A dichromatic framework for balanced trees.
In Foundations of Computer Science, 1978., 19th Annual Symposium on, pages
8–21. IEEE, 1978.
- [6] Scott Huddleston and Kurt Mehlhorn.
A new data structure for representing sorted lists.

Acta informatica, 17(2):157–184, 1982.

- [7] Donald E. Knuth.
Optimum binary search trees.
Acta informatica, 1(1):14–25, 1971.
- [8] Erkki Mäkinen.
On top-down splaying.
BIT Numerical Mathematics, 27(3):330–339, 1987.
- [9] Kurt Mehlhorn.
Sorting presorted files.
In *Theoretical Computer Science 4th GI Conference*, pages 199–212. Springer, 1979.
- [10] Jürg Nievergelt and Edward M Reingold.
Binary search trees of bounded balance.
SIAM journal on Computing, 2(1):33–43, 1973.
- [11] Daniel D Sleator and Robert E Tarjan.
Amortized efficiency of list update and paging rules.
Communications of the ACM, 28(2):202–208, 1985.
- [12] Daniel Dominic Sleator and Robert Endre Tarjan.
Self-adjusting binary search trees.
Journal of the ACM (JACM), 32(3):652–686, 1985.